

4. *Моисеев Н. Н.* Динамика корабля, имеющего жидкие грузы. — Изв. АН СССР. ОТН, 1954, в. 7, с. 27–45.
5. *Бологин В. В.* О движении жидкости в колеблющемся сосуде. — ПММ, 1956, т. 20, в. 2, с. 293–294.
6. *Крушинская С. И.* Колебания тяжелой вязкой жидкости в подвижном сосуде. — Ж. вычисл. матем. и матем. физ., 1965, т. 5, № 3, с. 519–536.
7. *Ландау Л. Д., Лифшиц Е. М.* Механика сплошных сред. М.—Л.: Гостехиздат, 1944, 624 с.
8. *Моисеев Н. Н., Петров А. А.* Численные методы расчета собственных частот колебаний ограниченного объема жидкости. М.: ВЦ АН СССР, 1966, 269 с.
9. *Перекрест В. И., Кононов Ю. Н.* Асимптотическое поведение поверхностных волн в цилиндрических сосудах переменной глубины. — В кн.: Теоретическая и прикладная механика. Респ. межвед. темат. науч.-техн. сб. Вып. 6. Киев — Донецк: Вища школа, 1975, с. 13–18.
10. *Бейтмен Г., Эрдейи А.* Высшие трансцендентные функции. М.: Наука, 1967, 299 с.
11. *Брискман В. А., Иванова А. А., Шайдуров Г. Ф.* Параметрические колебания жидкости в сообщающихся сосудах. — Изв. АН СССР, МЖГ, в. 2, 1976, № 2, с. 36–42.

Пермь

Поступила в редакцию  
25.V.1981

УДК 532.51.011

## ОТРЫВНОЕ ОБТЕКАНИЕ КРУГОВОГО КОНУСА ТРАНСЗВУКОВЫМ ПОТОКОМ ВОДЫ

АЛЬБЕВ Г. А.

Решается задача отрывного обтекания кругового конуса конечной длины дозвуковым, трансзвуковым и сверхзвуковым потоком воды. Вода полагается идеальной сжимаемой жидкостью. Стационарная картина обтекания получается в процессе установления по времени с помощью двумерной конечно-разностной схемы [1]. Исследуется зависимость коэффициента лобового сопротивления от числа Маха набегающего потока, распределение давления по конической поверхности и форма свободной поверхности, образующейся за конусом.

Ранее такого рода задачи решались для адиабатического течения идеального газа [1]. Отличие рассматриваемой задачи состоит в том, что в рассматриваемом диапазоне изменения давления воды  $0 < p \leq 2940$  МПа статическая и динамическая адиабаты практически совпадают [2]. Это обстоятельство несколько упрощает расчеты. Вместе с тем в основании конуса происходит срыв потока воды с конической поверхности — образуется свободная поверхность, что в свою очередь значительно осложняет решение задачи.

Численные расчеты сопоставляются с результатами решения задач о сверхзвуковом обтекании тонкого конуса в линейной постановке [3] и об отрывном обтекании конуса несжимаемой жидкостью [4, 5].

1. Рассматривается осесимметричное обтекание конуса конечной длины с постоянной скоростью  $V_\infty$  в набегающем потоке воды. Вода полагается идеальной сжимаемой жидкостью. Считается, что давление в ней не превышает 2940 МПа. При этом статическая и динамическая адиабаты для воды практически совпадают и выражаются уравнением Тэта [2]

$$p - p_\infty = \frac{\rho_\infty a_\infty^2}{n} \left[ \left( \frac{\rho}{\rho_\infty} \right)^n - 1 \right] \quad (1.1)$$

где  $p$  и  $\rho$  — давление и плотность,  $p_\infty$  — давление в набегающем потоке,  $a_\infty = 1460$  м/с;  $n = 7,15$ ;  $\rho_\infty a_\infty^2 / n = 298,41$  МПа.

Совместим начало цилиндрической системы координат  $xr$  с вершиной конуса и пусть ось  $x$  направлена по оси симметрии конуса в сторону его основания.

В основании конуса поток воды срывается с конической поверхности — образуется свободная поверхность. Давление на свободной поверхности полагается известным.

Уравнения сплошности и движения жидкости в осесимметричном случае имеют следующий вид [1]:

$$\frac{\partial a}{\partial t} + \frac{\partial b}{\partial x} + \frac{\partial c}{\partial r} = -\frac{1}{r} f \quad (1.2)$$

$$a = \begin{pmatrix} \rho \\ \rho u \\ \rho v \end{pmatrix}, \quad b = \begin{pmatrix} \rho u \\ p + \rho u^2 \\ \rho uv \end{pmatrix}, \quad c = \begin{pmatrix} \rho v \\ \rho uv \\ p + \rho v^2 \end{pmatrix}, \quad f = \begin{pmatrix} \rho v \\ \rho u \\ \rho v^2 \end{pmatrix} \quad (1.3)$$

Здесь  $u$  и  $v$  — проекции вектора скорости на оси  $x$  и  $r$  соответственно.

Данная система уравнений на стационарном режиме течения замыкается уравнением Бернулли

$$\frac{u^2 + v^2}{2} + \frac{n}{n-1} \frac{p - p_\infty + \rho_\infty a_\infty / n}{\rho} = \text{const} \quad (1.4)$$

На поверхности конуса и на свободной поверхности задается условие непротекания. Положение свободной поверхности и другие параметры течения и состояния определяются в результате решения задачи.

2. Решение стационарной задачи получается в процессе установления по времени при численном интегрировании системы (1.2)–(1.4) по двумерному варианту разностной схемы сквозного счета [1].

Расчитываемая область течения ограничена в направлении оси  $x$  начальной и конечной прямыми с координатами  $x=x_-$  и  $x=x_+$  соответственно. Область расчета в направлении координаты  $r$  ограничена прямой  $r=R$ . Разбиение области течения проводится на  $N$  слоев прямыми, перпендикулярными оси  $x$ . В свою очередь эти прямые разбиваются на  $M$  отрезков с длиной, которая изменяется линейно от наименьшего значения  $\Delta r_0$  для отрезка, примыкающего к конусу или к свободной поверхности. Точки разбиения с одинаковыми номерами соединяются, образуя тем самым расчетные ячейки.

Поверхность конуса при  $0 \leq x \leq L$  ( $L$  — длина конуса) задается уравнением  $r_0 = x \operatorname{tg} \alpha$  ( $\alpha$  — угол полураствора конуса). Начальное положение свободной поверхности определяется уравнением  $r_1 = L \operatorname{tg} \alpha$  ( $L \leq x \leq x_+$ ). В области течения со свободной поверхностью использовалась подвижная в направлении оси  $r$  сетка [1].

За начальное распределение параметров течения в момент  $t=0$  выбирались либо значения параметров невозмущенного потока, либо результаты расчета на более грубой сетке.

Условия на отрезках  $x=x_-$ ,  $x=x_+$ ,  $r=R$  ставились в соответствии с рекомендациями, приведенными в [6]. Давление на свободной поверхности полагалось равным давлению в набегающем потоке. Схема [4] аппроксимирует исходную систему уравнений и граничные условия с первым порядком точности. Расчеты велись на ЭВМ БЭСМ-6 по программе, составленной на алгоритмическом языке АЛГОЛ-60.

Расчитываемая область была ограничена прямыми  $x_- = -2$ ,  $x_+ = 10$ ,  $R = 20$ . Длина конуса равнялась двум единицам. При  $x_- < -2$ ,  $x_+ > 10$  и  $R > 20$  для фиксированных значений  $\alpha$  и  $M_\infty$  картина течения у поверхности конуса и свободной поверхности не изменялась.

Время расчета одного варианта занимало до 6 ч машинного времени при разностной сетке  $N \times M = 60 \times 40$ .

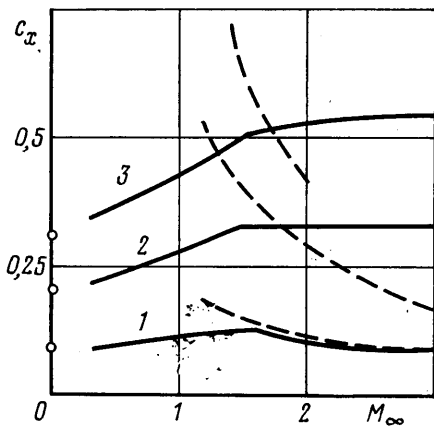
3. На фиг. 1 сплошными линиями, обозначенными цифрами 1–3, представлены результаты расчета коэффициента лобового сопротивления  $c_x$  для конусов с углами полураствора  $\alpha = 10^\circ$ ;  $19,3^\circ$ ;  $26,6^\circ$  соответственно. Значения, полученные по линейной теории в приближении тонкого тела [3], нанесены штриховой линией для  $\alpha = \arcsin(1/M_\infty)$ . Точками обозначены результаты, полученные при расчете обтекания конусов потоком несжимаемой жидкости [4].

Для  $\alpha = 10^\circ$  расчеты по указанной выше схеме хорошо согласуются с данными, полученными в [3]. Однако при приближении к  $M_\infty = 1$  погрешность линейной теории заметно увеличивается. Для более тупых конусов  $\alpha = 19,3^\circ$ ;  $26,6^\circ$  линейная теория дает результаты, резко отличные от полученных на основе точных уравнений.

Видно, что для острого конуса  $\alpha = 10^\circ$  коэффициент сопротивления с ростом  $M_\infty$  вначале возрастает, а затем при  $M_\infty > 1,6$  уменьшается. Это связано с тем, что при  $M_\infty \geq 1,6$  реализуется обтекание с присоединенным скачком уплотнения. Для более тупых конусов ( $\alpha = 19,3^\circ$ ;  $26,6^\circ$ ) в расчетном диапазоне ( $0 < M_\infty \leq 3$ ) течение с присоединенным скачком не реализуется. Поэтому  $c_x$  с ростом величины  $M_\infty$  не убывает. Однако в диапазоне  $1,5 \leq M_\infty \leq 3$  для  $\alpha = 19,3^\circ$  положение скачка уплотнения относительно конуса практически не изменяется. При этом коэффициент сопротивления, возрастающая при  $0 < M_\infty < 1,5$ , в указанном диапазоне не меняется.

На фиг. 2 сплошными линиями показано распределение коэффициента давления  $c_p = 2(p - p_\infty) / \rho_\infty V_\infty^2$  вдоль поверхности конуса с углом полураствора  $\alpha = 26,6^\circ$  при числах  $M_\infty = 0,3$ ; 1; 2; 3 (цифры 1–4 соответственно). Штриховой линией нанесен

результат расчета на сетке  $30 \times 20$  при  $M_\infty = 1$ . Там же иллюстрируется распределение  $c_p$  по поверхности конуса  $\alpha = 10^\circ$  при числах  $M_\infty = 1; 2$  (линии 5, 6 соответственно). При  $M_\infty = 1$  величина коэффициента давления при удалении от вершины конуса уменьшается. Увеличение  $M_\infty$  приводит к выравниванию распределения  $c_p$ . Когда дозвуковая зона течения за скачком уплотнения исчезает, параметры течения на поверхности конуса становятся постоянными.



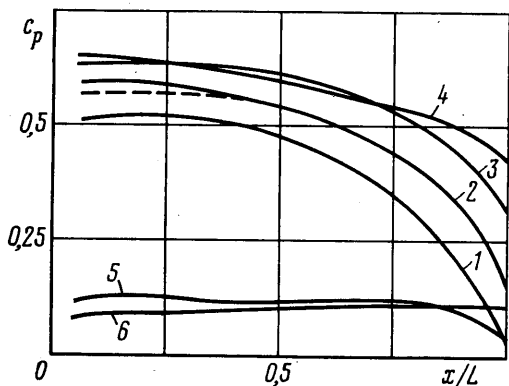
Фиг. 1

В указанной схеме расчета скачок уплотнения не выделялся. Этим объясняется некоторый «завал» величины  $c_p$  у вершины конуса.

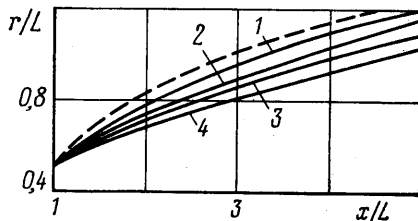
На фиг. 3 представлены результаты расчета положений свободной поверхности за конусом с углом  $\alpha = 26,6^\circ$  при числах  $M_\infty = 0,3; 1; 2; 3$  (линии 1-4 соответственно). Отметим, что с увеличением числа Маха набегающего потока радиальная координата свободной поверхности при  $x = \text{const}$  уменьшается. Пунктиром показано положение свободной поверхности за конусом с тем же углом полураствора, полученное в [5] для течения несжимаемой жидкости.

Автор выражает благодарность М. Я. Иванову и А. Н. Крайко за предоставление программы расчета параметров тече-

ния идеального газа около тела вращения, на основе которой была составлена программа для рассматриваемой задачи; Л. И. Слепяну — за полезные обсуждения результатов работы.



Фиг. 2



Фиг. 3

#### ЛИТЕРАТУРА

1. Годунов С. К., Забродин А. В., Иванов М. Я., Крайко Л. Н., Прокопов Г. П. Численное решение многомерных задач газовой динамики. М.: Наука, 1976. 400 с.
2. Замышляев В. В., Яковлев Ю. С. Динамические нагрузки при подводном взрыве. Л.: Судостроение, 1967. 387 с.
3. Сагомонян А. Я. Проникание. М.: Изд-во МГУ, 1974. 299 с.
4. Гузевский Л. Г. Численный анализ кавитационных течений. Ин-т теплофиз. Сиб. отд. АН СССР. Препр., 1979, № 40, 36 с.
5. Логвинович Г. В. Гидродинамика течений со свободными границами. Киев: Наукова думка, 1969. 215 с.
6. Иванов М. Я. К решению двумерных и пространственных задач обтекания тел околозвуковым потоком. — Ж. вычисл. матем. и матем. физ., 1975, т. 15, № 5, с. 1222-1240.

Ленинград

Поступила в редакцию  
17.III.1984